УЛК 911.2:528.9:77

ГЕОГРАФИЯ

Б. В. ВИНОГРАДОВ, А. А. ГРИГОРЬЕВ, Б. П. МИРОНОВ, Г. А. ПУТИНЦЕВА, Е. В. СЕРДЮКОВА

ОПЫТ ОБНОВЛЕНИЯ КАРТ ФИЗИКО-ГЕОГРАФИЧЕСКОГО АТЛАСА МИРА ПО ФОТОГРАФИЯМ С ПИЛОТИРУЕМОЙ ОРБИТАЛЬНОЙ СТАНЦИИ «САЛЮТ»

(Представлено академиком И. П. Герасимовым 7 VII 1972)

Во время полета пилотируемой орбитальной станции (ПОС) «Салют» с экипажем в составе летчиков-космонавтов Г. Т. Добровольского, В. Н. Волкова, В. И. Папаева было произведено мелкомасштабное маршрутное фотографирование по трассам вдоль и поперек простирания широтных физико-географических зон земного шара. Такая непрерывная съемка по глобальным трассам с пилотируемых космических кораблей производилась впервые. С ПОС «Салют» были возвращены на Землю, а затем обработаны материалы фотографирования автоматическим аэрофотоаппаратом с фокусным расстоянием около 31 мм форматом кадра 60×70 мм с высоты 200-250 км в оригинальном масштабе около 1: 7-1:8 млн в полсиутниковой точке кадра. Фотографирование производилось в направлении, близком к вертикальному, с отклонением оптической оси $5-10^{\circ}$. Эти фотографии характеризуются большой обзорностью — около 250 тыс. км², хотя их пространственное разрешение элемента изображения умеренного контраста весьма велико - около 200-300 м. Несмотря на столь мелкий масштаб фотографирования (а частично благодаря этому), было подтверждено научное и практическое значение подобных материалов обзорного мелкомасштабного физико-географического картографирования (1, 2). Такие фотографии обеспечивают высокие ступени картографической генерализации изображения земной поверхности и могут быть использованы для обновления карт советского Физико-географического атласа мира (ФГАМ) (5). Задача ФГАМ — дать возможно более полную и точную картину природы мира, основанную на новейших географических материалах и современной теории наук о Земле (4).

Для оценки возможностей и разработки методики использования таких мелкомасштабных космических фотографий при обновлении карт ФГАМ была произведена геоморфологическая, геоботаническая, гидрографическая интерпретация одной из полученных космических фотографий Прибалхашья (рис. 1). Схемы физико-географической интерпретации фотографий с ПОС «Салют» и соответствующие им по площади фрагменты тематических карт СССР из ФГАМ были приведены по детальности к одному и тому же масштабу рабочего оригинала карты, а именно 1:7,5 млн. Таким образом, были анализированы сопоставимые по уровню геометрической и тематической генерализации схемы интерпретации космических фотографий и фрагменты карт из ФГАМ (рис. 2). Площадь, покрытая фотографией, вполне представительна для такого анализа. Интерпретация производилась путем опознавания на фотографии контуров более детальных тематических карт масштаба 1:1—1:2,5 млн, данных литературных описаний полевых наблюдений, т. е. практически тех же, которые ранее

были исходными при составлении карт $\Phi\Gamma$ AM (3).

Сопоставление обзорных карт ФГАМ и результатов интерпретации фо-

тографий с ПОС «Салют» для обновления карт показало следующее.

Ряд новых контуров мог быть выделен на схеме интерпретации космической фотографии. На схеме геоботанической интерпретации — это, в первую очередь, макрокомбинации азональных растительных сообществ, объ-

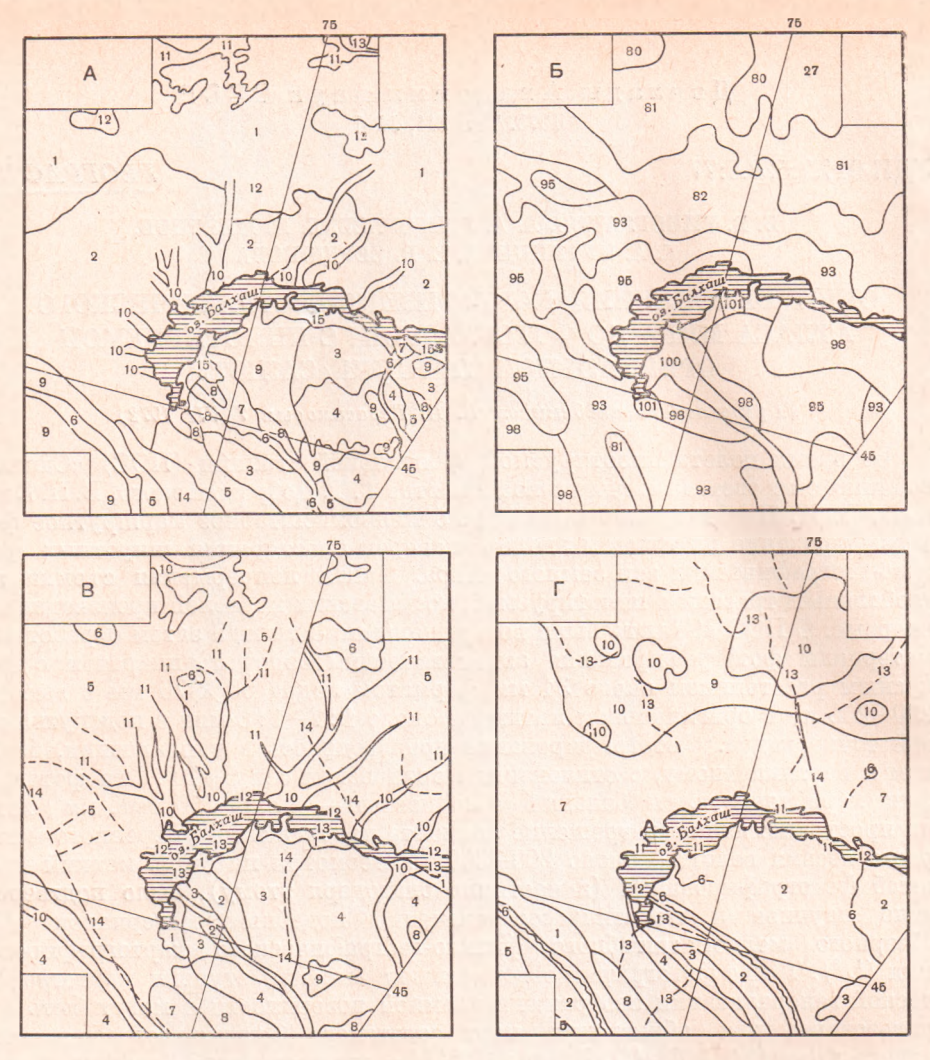


Рис. 2. Сопоставление схем физико-географической интерпретации космической фотографии Прибалжания, полученной с ПОС «Салют» (4 VI 1971 г. в оригинальном масштабе около 1:7,5 млн, и фрагментов тематических карт СССР в Физико-географическом атласе мира. А — схема геоботанической интерпретации: 1 — типчаково-полынные полупустыни; 2 — полынно-солянковые северные пустыни, 3 — пески с поамофительми кустарниками, полукустарниками и травами; 4 — пески в сочетании с полынно-солянковыми пустынями; 5 — предгорные равнины с эфемерово-полынно-солянковыми пустынными; 6 — речные долины с тугайной и высокотравной вастительностью и орошаемыми землями; 7 — дельты нижкого уровня с высокотравной растительностью; 8 — дельты высокото уровня с комбинациями путово-бологных, псаммофитовых и полынно-солянковыми сообществ; 9 — превиме адлювиально-дельтовые равнины с черносаксауловыми и полынно-солянковыми сообществ; 9 — превиме адлювиально-дельтовые равнины с черносаксауловыми и полынно-солянковыми сообществ; 9 — превиме адлювиально-дельтовые равнины с черносаксауловыми и полынно-солянковыми сообществ; 9 — превиме адлювиально-солянковыми сообществями; 10 — долины рек степной воны с типчаково-ковыльной и лугово-степной растительностью; 12 — возвышенности на коренных породах пустынной зоны с петрофитами; 13 — возвышенности на коренных породах пустыннами сообществами; 13 — призасерная равния с тростниково-высокотравно-солянковыми комбинациями. В — фрагмент карты растительность растительность растительность растительность пойм пустынна 32 — польнно-типчаково-ковыльные и полупустыни; 33 — польнным стамово-польнным сучастием польнным; 32 — алкамово-польнным сучастием польнным; 32 — алкамумулативные степи, севернаи полупустыни у 22 — аккумулативные полупустыни у 32 — польним депрасими космической фитография: 1 — аккумулативные озерные нажменные равнины; 14 — аккумулативные с оловыми дефапционно-аккумулативные с оловыми дефапционно-аккумулативные озерные нажменными; 3 — толупотребенные дельными озерно-алиовиальные польными; 3 — толупотребенные

единенные макроформами рельефа в топоэкологические ряды; например, на рис. 2A макрокомбинации растительности долин рек — выделы 6, 10, 11; аллювиально-дельтовых равнин разного уровня и генезиса — 7, 8, 9; прибрежных равнин — 15 и др. На схеме геоморфологической интерпретации (рис. 2B) новые выделы — это аккумулятивные прибрежные низменные озерные (1) и древние аккумулятивные аллювиально-пролювиальные (9) равнины, крупный морфологически выраженный разлом к западу от оз. Балхаш (13).

Вместе с тем некоторое число контуров, показанных на фрагментах карт $\Phi\Gamma AM$, отсутствовало на схемах интерпретации космических фотографий. На фрагменте карты растительности — это, в первую очередь, морфологически близкие зональные типы растительности, подразделение которых базируется не на «фотогеничных» признаках (рис. 2B, 93, 95 в пределах северных пустынь, выделы 80, 81 в пределах полупустынь). На схеме геоморфологической интерпретации — это границы между типичными и полупогребенными денудационными цокольными равнинами (рис. 2Γ , 9, 7), аккумулятивные равнины с лессовым покровом, формирующим рельеф (выдел 3), которые по внешним признакам выражены слабо.

В целом при сохранении деталиметрической сопоставимости на схемах интерпретации космических фотографий различается больше выделов, чем на соответствующей тематической карте (ср. рис. 2A и В) или, по крайней

мере, столько же $(B \text{ и } \Gamma)$.

Третья, наиболее многочисленная, категория контуров выделена как на фрагментах карт $\Phi\Gamma$ AM, так и на схемах фотоинтерпретации, но на последних более генерализованы и уточнены их границы и очертания. Так, уточнена классификация берегов оз. Балхаш (рис. 2B, 12, 13), отобраны наиболее выраженные в рельефе цокольные возвышенности (рис. 2B, 6), приведено в соответствие распределение псаммофитной растительности и ее комбинаций со структурой ландшафтов песчаных пустынь и их сочетаний (рис. 2A, 3, 4).

Эти особенности классификации интерпретированных по космическим

фотографиям выделов сводятся к следующему.

Топологический подход к выделению природных объектов на схемах интерпретации приводит к показу на них тематических единиц в рамках ландшафтных категорий. На геоботанической схеме интерпретации (рис. 2A) формации растительности объединяются по территориальной сопряженности в макрокомбинации, соответствующие сочетаниям растительности местностей и ландшафтов. На схеме геоморфологической интерпретации (рис. 2B) при выделении морфоскульптур, как и морфоструктур, большое значение имеют ландшафтно-геоморфологические признаки.

По степени сопряженности формы контуров схем интерпретации космических фотографий последние имеют явное преимущество перед фрагментами физико-географических карт Φ ГАМ. Так, коэффициент сопряженности границ в пределах доверительных интервалов на схемах геоботанической и геоморфологической интерпретаций (рис. 2A, B) составляет 0.5 а на картах растительности и геоморфологии Φ ГАМ 0.2 (рис. 2B, Γ).

Таким образом, как показал анализ, использование мелкомасштабных космических фотографий регионального обзора позволяет производить обновление, уточнение, детализацию карт и улучшение легенд для составления обзорных физико-географических карт масштаба 1:10—1:30 млн.

Институт географии Академии наук СССР Москва Поступило 30 VI 1972

ЦИТИРОВАННАЯ ЛИТЕРАТУРА

¹ Б. В. Виноградов, Геоботаническое картографирование, 1970, 1971.
² Б. В. Виноградов, А. А. Григорьев, Геоморфология, № 1 (1971). ³ Физико-географический атлас мира, И. П. Герасимов, А. И. Баранов (ред.), 1964. ⁴ И. П. Герасимов, Изв. АН СССР, сер. геогр., № 2 (1965). ⁵ Ю. А. Мещеряков, Д. С. Асоян и др., Изв. АН СССР, сер. геогр., № 3 (1971).